

1. Publicação nº <i>INPE-2735-RPE/433</i>	2. Versão	3. Data <i>Maio, 1983</i>	5. Distribuição <input type="checkbox"/> Interna <input checked="" type="checkbox"/> Externa <input type="checkbox"/> Restrita
4. Origem <i>DMC/DDO</i>	Programa <i>ORBAT</i>		
6. Palavras chaves - selecionadas pelo(s) autor(es) <i>GEOPOTENCIAL</i> <i>POLINÔMIOS DE LEGENDRE</i> <i>CÁLCULO RECURSIVO</i>			
7. C.D.U.: 521.3:629.7.076.6			
8. Título	<i>INPE-2735-RPE/433</i>		
<i>CÁLCULO RECURSIVO DA ACELERAÇÃO DO GEOPOTENCIAL</i>			10. Páginas: 71
			11. Última página: D.20
			12. Revisada por  <i>WCCSilva</i> <i>Wilson C. C. da Silva</i>
			13. Autorizada por  <i>Nelson de Jesus Parada</i> <i>Javada</i> <i>Diretor</i>
14. Resumo/Notas			
<p><i>Apresentam-se rotinas FORTRAN para o cálculo das acelerações devidas ao geopotencial, modeladas no trabalho usando os coeficientes dos harmônicos esféricos do Goddard Earth Model 10 (GEM10). Utilizam-se equações recursivas para o cálculo dos polinômios de Legendre completamente normalizados, com o objetivo de obter rapidez de processamento e precisão numérica. Para ilustração, efetuam-se testes numéricos que possibilitam a visualização das influências dos coeficientes harmônicos separadamente.</i></p>			
15. Observações			

ABSTRACT

FORTRAN routines to calculate geopotential, which is modelled using Goddard Earth Model 10 (GEM10) spherical harmonic coefficients, are presented. Recursive equations are utilized in order to calculate the fully normalized Legendre polynomials in order to obtain quick processing and better numerical accuracy. The influence of each type of harmonic coefficients is illustrated separately by numerical tests.

SUMÁRIO

	<u>Pág.</u>
LISTA DE FIGURAS	v
CAPÍTULO 1 - INTRODUÇÃO	1
CAPÍTULO 2 - FUNDAMENTOS PARA CÁLCULO DO POTENCIAL TERRESTRE	3
2.1 - Coeficientes dos harmônicos esféricos	3
2.2 - Polinômios de Legendre completamente normalizados	5
2.3 - Sistema de coordenadas	6
CAPÍTULO 3 - CÁLCULO DA ACELERAÇÃO GRAVITACIONAL	11
3.1 - Cálculo recursivo dos polinômios de Legendre	11
3.2 - Cálculo da aceleração local	14
CAPÍTULO 4 - DESCRIÇÃO DAS ROTINAS	17
4.1 - Sub-rotina GEM10	17
4.1.1 - Utilização	17
4.1.2 - Propósito	17
4.1.3 - Observações	17
4.2 - Sub-rotina ACEZØN	18
4.2.1 - Utilização	18
4.2.2 - Propósito	18
4.2.3 - Parâmetros	18
4.2.4 - Observações	18
4.3 - Sub-rotina ACETES	19
4.3.1 - Utilização	19
4.3.2 - Propósito	19
4.3.3 - Parâmetros	19
4.3.4 - Observações	19
4.4 - Sub-rotina ACETOT	20
4.4.1 - Utilização	20
4.4.2 - Propósito	20
4.4.3 - Parâmetros	20
4.4.4 - Observações	20

	<u>Pág.</u>
<u>CAPÍTULO 5 - CONCLUSÕES</u>	21
5.1 - Exemplos numéricos	21
5.2 - Comentários	30
<u>REFERÊNCIAS BIBLIOGRÁFICAS</u>	31
APÊNDICE A - SUBROTINA ACETOT	
APÊNDICE B - SUBROTINA ACEZON	
APÊNDICE C - SUBROTINA ACETES	
APÊNDICE D - SUBROTINA GEM 10	

LISTA DE FIGURAS

Pág.

2.1 - Sistema local $OX'Y'Z'$ e sistema terrestre $OX_gY_gZ_g$	7
2.2 - Sistema inercial $OXYZ$ e sistema terrestre $OX_gY_gZ_g$	8
5.1 - Sistema satélite adotado para os testes	22
5.2 - Aceleração inercial total: (a) aceleração no eixo x; (b) aceleração no eixo y; (c) aceleração no eixo z	23
5.3 - Aceleração inercial menos a aceleração kepleriana: (a) aceleração no eixo x; (b) aceleração no eixo y; (c) aceleração no eixo z	25
5.4 - Aceleração devida ao coeficiente J_2 : (a) aceleração no eixo x; (b) aceleração no eixo y; (c) aceleração no eixo z	16
5.5 - Aceleração devida aos coeficientes zonais, menos o coeficiente J_2 : (a) aceleração no eixo x; (b) aceleração no eixo y; (c) aceleração no eixo z	27
5.6 - Aceleração devida aos coeficientes zonais e tesserais, menos o coeficiente J_2 : (a) aceleração no eixo x; (b) aceleração no eixo y; (c) aceleração no eixo z	28
5.7 - Aceleração devida aos coeficientes tesserais: (a) aceleração no eixo x; (b) aceleração no eixo y; (c) aceleração no eixo z	29



CAPÍTULO 1

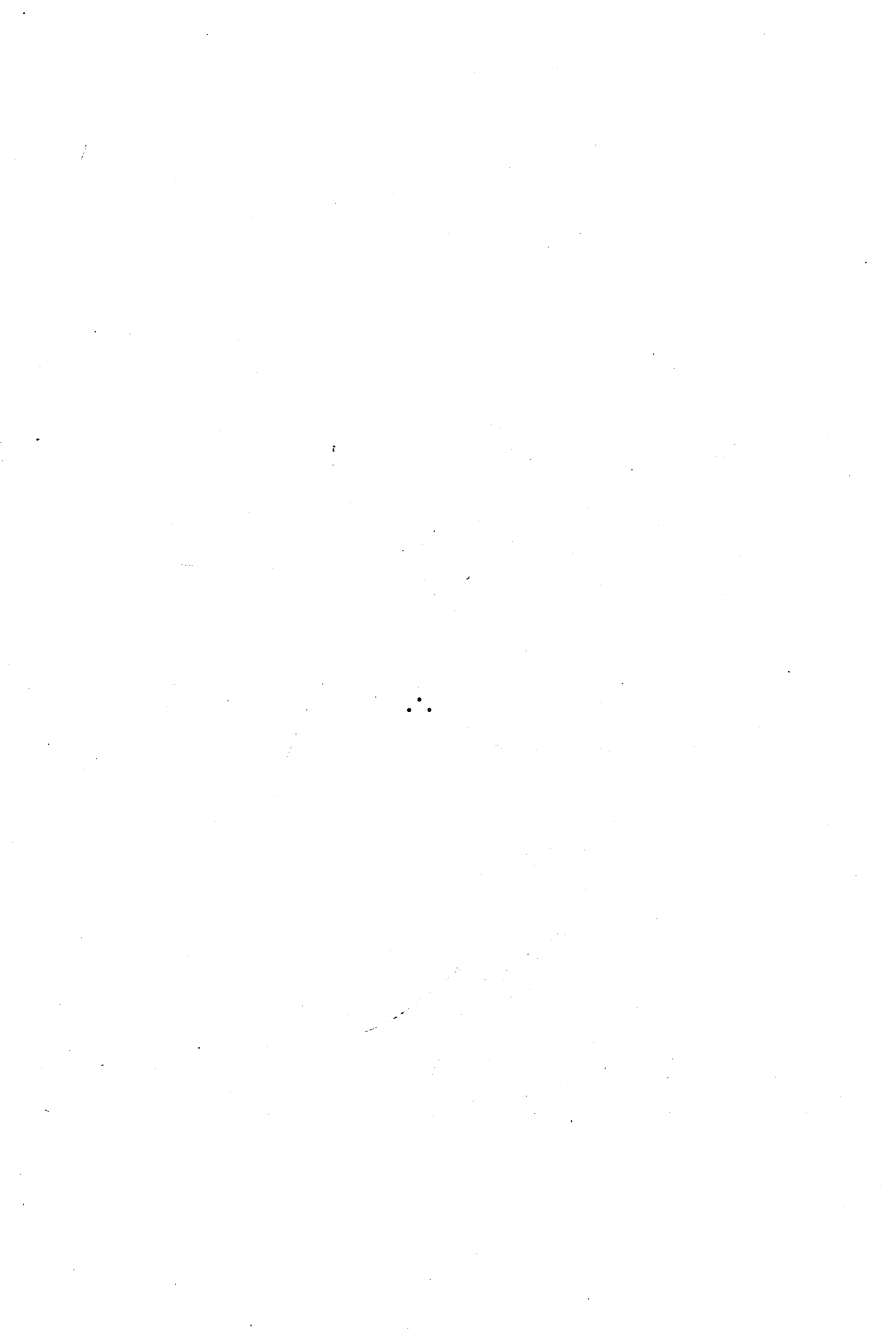
INTRODUÇÃO

Com a crescente demanda das simulações digitais em cálculo de trajetórias orbitais, foi necessário produzir um simulador numérico de órbita que alia a precisão de modelagem à rapidez computacional, tendo em vista vínculos de custos de processamento.

Realiza-se neste trabalho um programa computacional para o cálculo da aceleração gravitacional devido ao geopotencial, através dos coeficientes dos harmônicos esféricos do Goddard Earth Model 10 (GEM10) apresentado por Lerch et alii (1979). As rotinas são confecionadas de forma modular para permitir o máximo de flexibilidade, viabilizando a utilização de outros modelos tais como o GEM9, GEM8, GEM4, etc. (Lerch et alii, 1979; NASA, 1977), se estes estiverem disponíveis. Esta forma modular das rotinas torna possível a incorporação de perturbações de arrasto atmosférico, de perturbações luni-solares, de perturbações de marés, de perturbações de pressão de radiação, etc., para integração numérica da órbita com o método de Cowell.

A adoção de fórmulas recursivas para os cálculos da perturbação gravitacional (Capítulo 3) possibilitam rapidez de cálculo e economia de armazenamento. A utilização de parâmetros normalizados (Capítulo 2) permite uma maior precisão numérica, pois evitam o surgimento de números muito grandes durante os cálculos.

A descrição das sub-rotinas em termos de entradas, saídas e passagem de parâmetros é apresentada no Capítulo 4. O Capítulo 5 consta de exemplos de uso com os respectivos resultados e comentários gerais. A listagem das rotinas em linguagem "FORTRAN" padrão é apresentada no Apêndice A.



CAPÍTULO 2

FUNDAMENTOS PARA CÁLCULO DO POTENCIAL TERRESTRE

Um ponto material, por exemplo o Centro de Massa (CM) de uma espaçonave ou satélite artificial, sujeito à atração de um campo não-central, no caso a Terra, sofre perturbações devido à distribuição não-simétrica e não-esférica da massa da Terra. Esta distribuição irregular de massa é expressa pelos chamados coeficientes dos harmônicos esféricos. Deste modo, o potencial de um corpo em relação à Terra é calculado de uma forma genérica por (Kaula, 1966):

$$U = \frac{GM}{r} \sum_{n=0}^{\infty} \sum_{m=0}^{n} \left(\frac{a_e}{r} \right)^n [C_{nm} \cos m\lambda + S_{nm} \sin m\lambda] P_n^m(\sin \psi), \quad (2.1)$$

onde:

U - é o potencial do CM,

G - é a constante gravitacional universal,

M - é a massa da Terra,

r - é a distância do CM ao centro da Terra,

a_e - é o raio equatorial terrestre.

λ - é a longitude leste do CM relativo à Greenwich,

ψ - é a latitude geocêntrica do CM,

P_n^m - são os polinômios de Legendre e

C_{nm} e S_{nm} - são os coeficientes dos harmônicos esféricos.

2.1 - COEFICIENTES DOS HARMÔNICOS ESFÉRICOS

De acordo com a Equação 2.1, os coeficientes C_{nm} e S_{nm} devem expressar o mais fielmente possível a forma irregular da distribuição de massa da Terra, para que o modelo do potencial seja representado adequadamente. A determinação de tais coeficientes é obtida experimentalmente através da redução e análise dos dados de satélites artificiais e também a partir de métodos gravimétricos. Os valores adota-

dos neste trabalho correspondem ao modelo denominado GEM10 - Goddard Earth Model 10 - descrito no artigo de Lerch et alii (1979). O GEM10 contém os coeficientes dos harmônicos até ordem e grau 30, i.e., até $C_{30,30}$ e $S_{30,30}$, e utiliza os seguintes valores para os parâmetros GM e a_e :

$$GM = 3,9860047 \times 10^{14} \text{ m}^3/\text{s}^2 ,$$

$$a_e = 6.378.139 \text{ m} .$$

Os coeficientes GEM10 são listados na forma completamente normalizada (Heiskanen and Moritz, 1967):

$$\begin{pmatrix} \bar{C}_{nm} \\ \bar{S}_{nm} \end{pmatrix} \triangleq \left[\frac{1}{\varepsilon_m (2n+1)} \frac{(n+m)!}{(n-m)!} \right]^{1/2} \begin{pmatrix} C_{nm} \\ S_{nm} \end{pmatrix} , \quad (2.2)$$

sendo:

$$\varepsilon_m = \begin{cases} 1 & \text{se } m = 0 \\ 2 & \text{se } m \geq 1 \end{cases} ,$$

onde \bar{C} e \bar{S} são os coeficientes harmônicos completamente normalizados. É comum na literatura (Kaula, 1966) separar os coeficientes C com índices m igual a zero e definir:

$$J_n \triangleq -C_{n0} , \quad (2.3)$$

que são chamados coeficientes zonais. Os coeficientes S com índices $m = 0$ são nulos:

$$S_{n0} = 0 . \quad (2.4)$$

Aos coeficientes C e S restantes ($m \geq 1$) dâ-se o nome de coeficientes dos harmônicos tesserais (alguns autores preferem classificá-los em coeficientes setoriais quando $m = n$ e coeficientes tesserais quando $m \neq n$). Portanto, a Fórmula 2.2 pode ser desdobrada em:

$$\bar{J}_n \triangleq \left[\frac{1}{2n + 1} \right]^{1/2} J_n , \quad (2.5)$$

$$\begin{bmatrix} \bar{C}_{nm} \\ \bar{S}_{nm} \end{bmatrix} \triangleq \left[\frac{1}{4n + 2} \cdot \frac{(n + m)!}{(n - m)!} \right]^{1/2} \begin{bmatrix} C_{nm} \\ S_{nm} \end{bmatrix} , \quad (2.6)$$

onde \bar{J}_n corresponde à normalização dos coeficientes zonais J_n , e \bar{C}_{nm} e \bar{S}_{nm} correspondem à normalização dos coeficientes tesserais C_{nm} e S_{nm} .

2.2 - POLINÔMIOS DE LEGENDRE COMPLETAMENTE NORMALIZADOS

Quando se considera os coeficientes harmônicos completamente normalizados, os polinômios associados de Legendre, P_n^m , também devem ser completamente normalizados, a fim de compatibilizar a Equação 2.1 do geopotencial que, em consequência, toma a seguinte forma:

$$U = \frac{GM}{r} \sum_{n=0}^{\infty} \sum_{m=0}^n \left(\frac{ae}{r} \right)^n \left[\bar{C}_{nm} \cos m\lambda + \bar{S}_{nm} \sin m\lambda \right] \cdot \bar{P}_n^m (\sin \psi) . \quad (2.7)$$

Portanto, vale a seguinte relação (Heiskamen and Moritz, 1967):

$$\bar{P}_n^m = \left[\varepsilon_m (2n + 1) \frac{(n - m)!}{(n + m)!} \right]^{1/2} P_n^m . \quad (2.8)$$

Em termos computacionais esta transformação produz menor precisão numérica já que, após a normalização, \bar{C} , \bar{S} e \bar{P} possuem valores mais condicionados para efetuar os cálculos e não introduzem

fatoriais, cujo cálculo pode produzir valores muito grandes e, portanto, suscetíveis de erros numéricos (ver cálculo recursivo dos polinômios de Legendre, Seção 2.4).

2.3 - SISTEMA DE COORDENADAS

Uma vez modelado o potencial de um ponto (CM) em relação à Terra, obtém-se a aceleração gravitacional através do operador gradiente:

$$\ddot{\mathbf{r}} = \nabla U . \quad (2.9)$$

Entretanto, o potencial U em geral é descrito no sistema de coordenadas fixo na espaçonave. Porém, pretende-se obter a aceleração no sistema inercial $OXYZ$. Assim, seja $O'Y'Z'$ o sistema de coordenadas local (fixo na espaçonave) e $O_g Y_g Z_g$ o sistema de coordenadas terrestre (referente a Greenwich); o seguinte procedimento deve ser efetuado:

- 1) Calcular as acelerações no sistema $O'Y'Z'$ local;
- 2) Convertê-las ao sistema $O_g Y_g Z_g$ terrestre;
- 3) Convertê-las ao sistema $OXYZ$ inercial.

A Figura 2.1 mostra a geometria entre o sistema $O'Y'Z'$ e o sistema $O_g Y_g Z_g$. Assim, vale a seguinte relação:

$$\begin{bmatrix} X_g \\ Y_g \\ Z_g \end{bmatrix} = |R| (\psi, \lambda) \begin{bmatrix} X' \\ Y' \\ Z' \end{bmatrix} , \quad (2.10)$$

onde $|R| (\psi, \lambda)$ é a matriz de rotação que relaciona os sistemas, calculada por:

$$R(\psi, \lambda) = \begin{bmatrix} \cos \psi \cos \lambda & -\sin \lambda & -\sin \psi \cos \lambda \\ \cos \psi \sin \lambda & \cos \lambda & -\sin \psi \sin \lambda \\ \sin \psi & 0 & \cos \psi \end{bmatrix}, \quad (2.11)$$

onde:

$$\sin \psi = Z_g / r_g$$

$$\cos \psi = (X_g^2 + Y_g^2)^{1/2} / r_g$$

$$\sin \lambda = Y_g / (X_g^2 + Y_g^2)^{1/2}$$

$$\cos \lambda = X_g / (X_g^2 + Y_g^2)^{1/2}$$

$$r_g = (X_g^2 + Y_g^2 + Z_g^2)^{1/2}$$

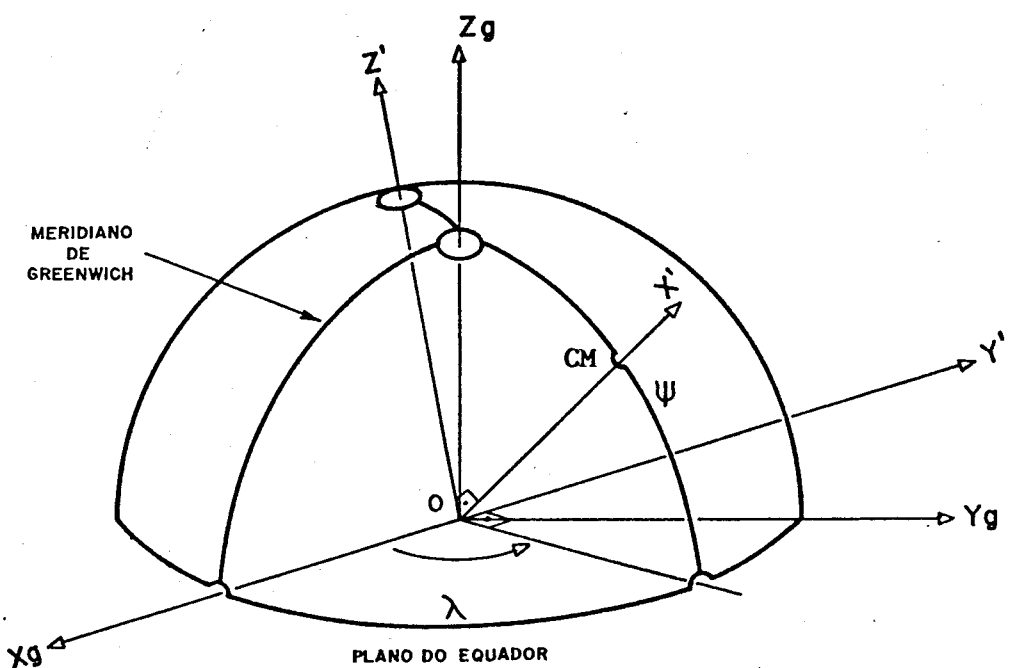


Fig. 2.1 - Sistema local $OX'Y'Z'$ e sistema terrestre $OX_gY_gZ_g$.

A Figura 2.2 mostra a geometria entre o sistema $OX_gY_gZ_g$ e o sistema OXYZ. Vale a seguinte relação:

$$\begin{bmatrix} X \\ Y \\ Z \end{bmatrix} = R^T(\theta_g) \begin{bmatrix} X_g \\ Y_g \\ Z_g \end{bmatrix}, \quad (2.13)$$

onde $R(\theta_g)$ é a matriz de rotação calculada por:

$$R(\theta_g) = \begin{bmatrix} \cos \theta_g & \sin \theta_g & 0 \\ -\sin \theta_g & \cos \theta_g & 0 \\ 0 & 0 & 1 \end{bmatrix}. \quad (2.14)$$

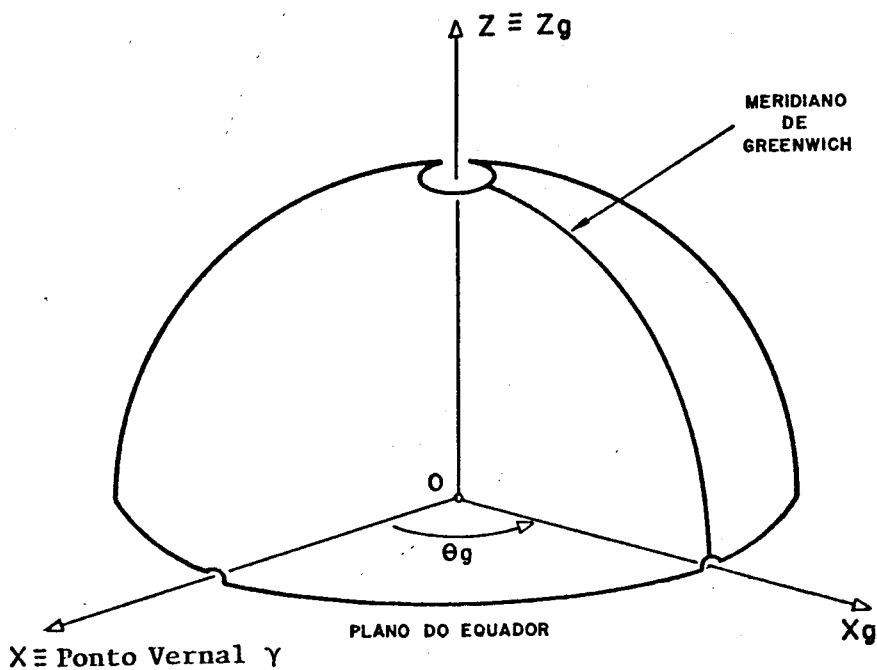


Fig. 2.2 - Sistema inercial OXYZ e sistema terrestre $OX_gY_gZ_g$.

O ângulo θ_g representa o tempo sideral de Greenwich, que por sua vez pode ser calculado a partir da data Juliana (Escobal, 1965) por:

$$\theta_{g_0} = 99^0,6909833 + 36000^0,7689 T_u + 0^0,00038708 T_u^2 , \quad (2.15)$$

onde: θ_{g_0} é o tempo sideral de Greenwich a zero horas TU (tempo universal) e T_u é o valor em séculos a partir de 0,5 de janeiro de 1900, calculado por:

$$T_u = \frac{DJ - 2415020,0}{36525} . \quad (2.16)$$

Para o cálculo da Data Juliana DJ, Fliegel e Flandern (1968) apresentam um algoritmo a partir do calendário gregoriano:

$$\begin{aligned} DJ = & 367 * A - 7 * [A + (M+9)/12]/4 + \\ & + 275 * M/9 + D + 1721014 , \end{aligned} \quad (2.17)$$

onde A é o ano, M é o mês e D é o dia. Para o cálculo do tempo sideral num instante qualquer do dia, faz-se a propagação:

$$\theta_g = \theta_{g_0} + \dot{\theta}t , \quad (2.18)$$

onde $\dot{\theta}$ é a taxa de rotação terrestre no sistema inercial ($0^0,25068447/$ /min) e t é o tempo em minutos contado a partir de zero horas TU do dia. Rotinas FORTRAN para o cálculo de DJ e θ_g podem ser obtidas a partir de Kuga et alii (1981).

Uma vez calculadas as acelerações no sistema local, torna-se simples levá-las ao sistema inercial através das rotações:

$$\begin{bmatrix} \ddot{x}_g \\ \ddot{y}_g \\ \ddot{z}_g \end{bmatrix} = \mathbb{R}(\psi, \lambda) \begin{bmatrix} \ddot{x}' \\ \ddot{y}' \\ \ddot{z}' \end{bmatrix}$$

$$\begin{bmatrix} \ddot{x} \\ \ddot{y} \\ \ddot{z} \end{bmatrix} = \mathbb{R}^T(\theta_g) \begin{bmatrix} \ddot{x}_g \\ \ddot{y}_g \\ \ddot{z}_g \end{bmatrix}$$

ou

$$\begin{bmatrix} \ddot{x} \\ \ddot{y} \\ \ddot{z} \end{bmatrix} = \mathbb{R}^T(\theta_g) \mathbb{R}(\psi, \lambda) \begin{bmatrix} \ddot{x}' \\ \ddot{y}' \\ \ddot{z}' \end{bmatrix} \quad (2.19)$$

CAPÍTULO 3

CÁLCULO DA ACELERAÇÃO GRAVITACIONAL

3.1 - CÁLCULO RECURSIVO DOS POLINÔMIOS DE LEGENDRE

A utilização do sistema local OX'Y'Z' permite obter simplicidade e flexibilidade de cálculo, pois neste sistema, pode-se separar facilmente a influência dos coeficientes zonais em relação aos coeficientes tesserais para o cálculo da aceleração.

Excluindo-se a aceleração devida à parte esférica do potencial (aceleração kepleriana ou dos dois corpos), a aceleração devida exclusivamente aos harmônicos pode ser expressa por:

$$\ddot{r}'_{\text{harm}} = \ddot{r}'(J) + \ddot{r}'(C,S) , \quad (3.1)$$

onde $\ddot{r}'(J)$ representa a influência dos coeficientes zonais e $\ddot{r}'(C,S)$ representa a influência dos coeficientes tesserais. A aceleração "zonal" é calculado por (Spier, 1971):

$$\ddot{r}'(J) = \frac{GM}{r^2} \sum_{n=2}^{n_1} J_n \left(\frac{a_e}{r} \right)^n \begin{bmatrix} (n+1) P_n \\ 0 \\ -\cos \psi P'_n \end{bmatrix} , \quad (3.2)$$

onde n_1 representa o valor de truncagem da série (o n_1 máximo disponível neste trabalho é 30), e P_n e P'_n são os polinômios de Legendre e suas derivadas em relação ao sen ψ , respectivamente.

Os polinômios P_n são calculados recursivamente por:

$$P_n = \frac{2n-1}{n} \sin \psi P_{n-1} - \frac{n-1}{n} P_{n-2} , \quad (3.3)$$

inicializados por $P_0 = 1$ e $P_1 = \sin \psi$.

Contudo, devido à utilização dos coeficientes completamente normalizados, deve-se utilizar os polinômios de Legendre também completamente normalizados, conforme visto na Seção 2.2. Assim, utilizando-se a Fórmula de Recursão 3.3 e a Equação 2.8 chega-se a:

$$\bar{P}_n = (2n + 1)^{1/2} P_n . \quad (3.4)$$

Da mesma forma P'_n (derivada de P_n em relação a $\sin \psi$) é calculado recursivamente por:

$$P'_n = \sin \psi P'_{n-1} + n P_{n-1} , \quad (3.5)$$

inicializado por $P'_1 = 1$. Os polinômios completamente normalizados correspondentes são calculados por:

$$\bar{P}'_n = (2n + 1)^{1/2} P'_n . \quad (3.6)$$

A aceleração "tesseral" é calculada por (Spier, 1971):

$$r'(C, S) = \frac{GM}{r^2} \sum_{n=2}^{n_1} \sum_{m=1}^n \left(\frac{a_e}{r} \right)^n \cdot \begin{bmatrix} -(n+1) P_n^m (C_{nm} \cos m\lambda + S_{nm} \sin m\lambda) \\ m \sec \psi P_n^m (-C_{nm} \sin m\lambda + S_{nm} \cos m\lambda) \\ \cos \psi P_n^{m-1} (C_{nm} \cos m\lambda + S_{nm} \sin m\lambda) \end{bmatrix} . \quad (3.7)$$

Analogamente a n_1 da Equação 3.2, n_2 máximo disponível é 30. Os P_n^m são os polinômios associados de Legendre, obtidos a partir das seguintes recursões:

para $m = n$

$$\sec \psi P_n^n = (2n - 1) \cos \psi \sec \psi P_{n-1}^{n-1} , \quad (3.8)$$

inicializado por $\sec \psi P_1^1 = 1$.

para $m < n$

$$\sec \psi P_n^m = \frac{2n-1}{n-m} \sin \psi \sec \psi P_{n-1}^m - \frac{n+m-1}{n-m} \sec \psi P_{n-2}^m , \quad (3.9)$$

com a condição de $P_a^b = 0$ para $b > a$.

Os P_n^m são calculados por:

$$\cos \psi P_n^m = -n \sin \psi \sec \psi P_n^m + (n+m) \sec \psi P_{n-1}^m , \quad (3.10)$$

valendo a mesma condição da Equação 3.9.

Os polinômios completamente normalizados correspondentes são obtidos por:

para $m = n$

$$\sec \psi \bar{P}_n^n = \left(\frac{2n+1}{2n} \right)^{1/2} \cos \psi \sec \psi \bar{P}_{n-1}^{n-1} , \quad (3.11)$$

inicializado por $\sec \psi \bar{P}_1^1 = 3^{1/2}$.

para $m < n$

$$\begin{aligned} \sec \psi \bar{P}_n^m = & \left(\frac{2n+1}{n^2 - m^2} \right)^{1/2} \left[(2n-1)^{1/2} \sin \psi \sec \psi \bar{P}_{n-1}^m - \right. \\ & \left. - \left(\frac{n^2 - m^2 - 2n+1}{2n-3} \right)^{1/2} \sec \psi \bar{P}_{n-2}^m \right] , \end{aligned} \quad (3.12)$$

com $\bar{P}_a^b = 0$ para $b > a$.

Os \bar{P}_n^m são calculados por:

$$\cos \psi \bar{P}_n^m = -n \sin \psi \sec \psi \bar{P}_n^m + \left[\frac{2n+1}{2n-1} (n^2 - m^2) \right]^{1/2} .$$

$$. \sec \psi \bar{P}_{n-1}^m , \quad (3.13)$$

e também $P_a^b = 0$ para $b > a$.

3.2 - CÁLCULO DA ACELERAÇÃO LOCAL

A recursividade dos polinômios de Legendre completamente normalizados, Equações 3.4, 3.6, 3.11, 3.12, 3.13, permite o truncamento da série na ordem desejada. O modelo GEM10 contém coeficientes até a ordem e grau 30 ($n_1 = n_2 = 30$) das séries do geopotencial. Com o cálculo da aceleração efetuada no sistema $OX'Y'Z'$ local, pode-se fazer o cálculo das acelerações zonais e tesserais independentemente. Assim, a aceleração total é composta por:

$$\ddot{r}' = \ddot{r}'(2 \text{ corpos}) + \ddot{r}'(J) + \ddot{r}'(C, S) . \quad (3.14)$$

Explicitamente tem-se:

$$\begin{bmatrix} \ddot{x}' \\ \ddot{y}' \\ \ddot{z}' \end{bmatrix} = \frac{GM}{r^2} \begin{bmatrix} -1 \\ 0 \\ 0 \end{bmatrix} + \frac{GM}{r^2} \sum_{n=2}^{n_1} \bar{J}_n \left(\frac{a_e}{r} \right)^n \begin{bmatrix} (n+1) \bar{P}_n \\ 0 \\ -\cos \psi \bar{P}_n' \end{bmatrix} +$$

$$+ \frac{GM}{r^2} \sum_{n=2}^{n_2} \sum_{m=1}^n \left(\frac{a_e}{r} \right)^n \begin{bmatrix} -(n+1) \bar{P}_n^m (\bar{C}_{nm} \cos m\lambda + \\ + \bar{S}_{nm} \sin m\lambda) \\ m \sec \psi \bar{P}_n^m (-\bar{C}_{nm} \sin m\lambda + \\ + \bar{S}_{nm} \cos m\lambda) \\ \cos \psi \bar{P}_n'^m (\bar{C}_{nm} \cos m\lambda + \\ + \bar{S}_{nm} \sin m\lambda) \end{bmatrix} , \quad (3.15)$$

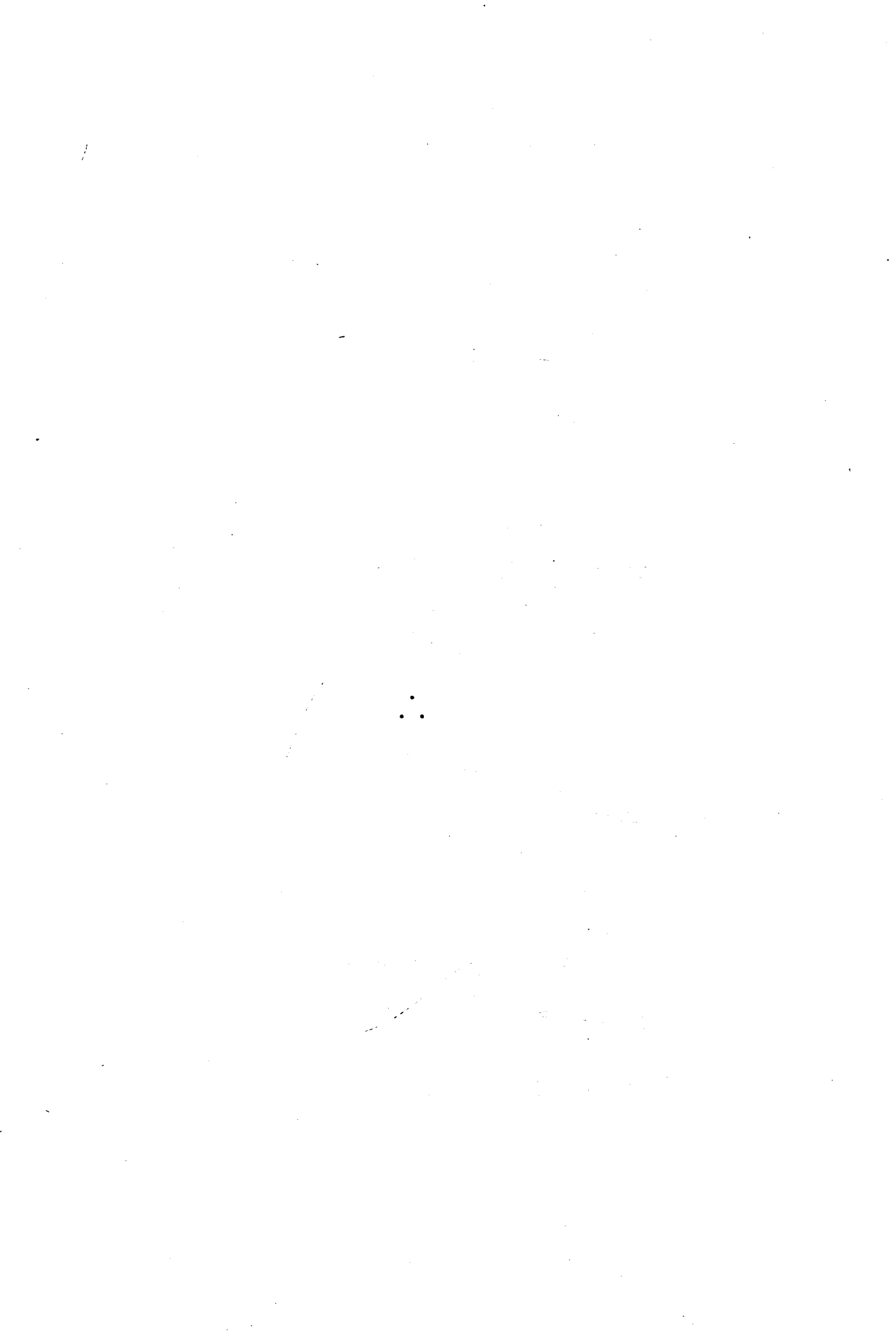
onde \bar{J}_n , \bar{C}_{nm} e \bar{S}_{nm} são fornecidos pelo GEM10; e \bar{P}_n , \bar{P}'_n , \bar{P}^m_n , \bar{P}'^m_n são calculados recursivamente pelas Equações 3.4, 3.6, 3.11, 3.12, 3.13.

Mantendo a filosofia de explorar ao máximo a recursividade e obter rapidez computacional, calcula-se $\cos m \lambda$ e $\sin m \lambda$ por:

$$\cos m \lambda = \cos(m-1) \lambda \cos \lambda - \sin(m-1) \lambda \sin \lambda , \quad (3.16)$$

$$\sin m \lambda = \sin(m-1) \lambda \cos \lambda + \cos(m-1) \lambda \sin \lambda , \quad (3.17)$$

inicializando-os com $\cos 0 = 1$ e $\sin 0 = 0$ para $m = 1$.



CAPÍTULO 4

DESCRICAÇÃO DAS ROTINAS

4.1 - SUB-ROTINA GEM10

4.1.1 - UTILIZAÇÃO

CALL GEM10

4.1.2 - PROPÓSITO

A sub-rotina GEM10 define os coeficientes zonais J e os coeficientes tesserais C e S até a ordem e grau 30 na forma completa mente normalizada (Lerch et alii, 1979).

4.1.3 - OBSERVAÇÕES

- a) Esta sub-rotina deve ser chamada uma única vez, logo no início do programa que o utiliza. Ela tem a função de inicializar os valores dos coeficientes.
- b) Após a chamada, os coeficientes estarão definidos nos "COMMON" §:

CØMMØN / CZØNAL / CO(30) ,

CØMMØN / CTESSE / C(30, 30) ,

CØMMØN / STESSE / S(30, 30) ,

que serão utilizados pelas rotinas de cálculo da aceleração.

Os coeficientes estão multiplicados por 10^6 .

4.2 - SUB-ROTINA ACEZON

4.2.1 - UTILIZAÇÃO

CALL ACEZON (N1, ACZ).

4.2.2 - PROPOSITO

A sub-rotina ACEZON calcula a aceleração do CM, devida aos coeficientes zonais J, no sistema terrestre $OXYZ_g$ pela Equação 3.2.

4.2.3 - PARÂMETROS

Entrada:

N1 - Ordem de truncamento da série (ver Equação 3.2).

Saída:

ACZ - Vetor de dimensão 3, contendo as componentes de aceleração da espaçonave no sistema terrestre.

4.2.4 - OBSERVAÇÕES

- a) Os coeficientes zonais devem estar definidos, i.e., a sub-rotina GEM10 deve ter sido anteriormente chamada.
- b) No caso de não se usar a sub-rotina gerente ACETOT (Seção 4.4), o COMMON deve ser definido da seguinte maneira:

C₀MM₀N / CTEG10 / SL, CL, SF, CF, RG ,

onde:

$$SL = \sin \lambda ,$$

$$CL = \cos \lambda ,$$

SF = $\sin \psi$,

CF = $\cos \psi$,

RG = r ,

e tais parâmetros (SL, CL, SF, CF, RG) devem ter sido calculados e carregados neste "COMMON" antes de chamar esta rotina.

4.3 - SUB-ROTINA ACETES

4.3.1 - UTILIZAÇÃO

CALL ACETES (N2, ACT)

4.3.2 - PROPOSITO

A sub-rotina ACETES calcula a aceleração da espaçonave, devida aos coeficientes tesserais C e S, no sistema terrestre por meio da Equação 3.7).

4.3.3 - PARÂMETROS

Entrada:

N2 - Ordem de truncamento da série (ver Equação 3.7).

Saída:

ACT - Vetor de dimensão 3, contendo as componentes da aceleração da espaçonave no sistema terrestre.

4.3.4 - OBSERVAÇÕES

a) Os coeficientes tesserais devem estar definidos, i.e., a sub-rotina GEM10 deve ter sido anteriormente chamada.

b) Vale a mesma observação b da Seção 4.2.4.

4.4 - SUB-ROTINA ACETOT

4.4.1 - UTILIZAÇÃO

CALL ACETOT (N, TSG, XI, AC).

4.4.2 - PROPOSIÇÃO

A sub-rotina ACETOT gerencia as chamadas das sub-rotinas GEM10, ACEZON e ACETES compatibilizando as entradas e saídas, calculando as matrizes de rotação necessárias para produzir a aceleração da espaçonave no sistema inercial.

4.4.3 - PARÂMETROS

Entradas:

N - Ordem de truncamento da série,

TSG - Tempo sideral de Greenwich em radianos,

XI - Vetor de dimensão 3, contendo a posição (X, Y, Z) da espaço nave no sistema inercial em metros.

Saída:

AC - Vetor de dimensão 3, contendo a aceleração da espaçonave no sistema inercial em m/s^2 .

4.4.4 - OBSERVAÇÕES

- a) Internamente, a sub-rotina ACETOT verifica se é a sua 1ª chama da, a fim de inicializar os coeficientes por meio da sub-rotina GEM 10.
- b) A sub-rotina ACETOT calcula outros parâmetros necessários às sub-rotinas ACEZON e ACETES (veja Seção 4.2.4 e 4.3.4, observação b).

CAPÍTULO 5

CONCLUSÕES

As rotinas apresentadas foram testadas e implementadas no computador Burroughs 6800 (FORTRAN). Os resultados obtidos são suficientes para constatar não só a validade do método, como o perfeito funcionamento das rotinas (veja listagens no Apêndice A). Seguem-se os testes numéricos elaborados para comparação e análise, a fim de facilitar o entendimento do processo de cálculo, as facilidades, flexibilidade e as peculiaridades quanto às influências relativas aos coeficientes harmônicos do geopotencial.

5.1 - EXEMPLOS NUMÉRICOS

A aplicação principal de tal modelagem é evidente na integração numérica para propagação de órbitas e estende-se a testes de teorias analíticas, coeficientes ressonantes, aplicações cartográficas, etc. Entretanto, como o objetivo é a modelagem das acelerações, elaboraram-se testes no sentido de se obterem as acelerações (conjuntas e isoladas), devidas ao geopotencial principal (corpo central esférico) e ao perturbador (zonal e tesseral), que atuam sobre um satélite exemplo colocado numa órbita kepleriana, perfeitamente circular e inclinada em relação ao Equador. Os dados do satélite exemplo são os seguintes:

semi-eixo maior "a"	= 7.000,000 km ,
excentricidade "e"	= 0 ,
inclinação "i"	= 42º ,
ascenção reta do nó ascendente " Ω "	= 176º ,
argumento do perigeu " ω "	= 0º ,
anomalia média "M"	= 0º ,
tempo sideral de Greenwich " θ_g "	= 0º .

Para efeito de visualização das influências dos coeficientes dos harmônicos, introduz-se o sistema satélite (sistema com o pla

no da órbita transladado para o CM), com o eixo x radial, y tangente à órbita no sentido da velocidade, e z normal ao plano orbital formando o triedro direto, conforme a Figura 5.1.

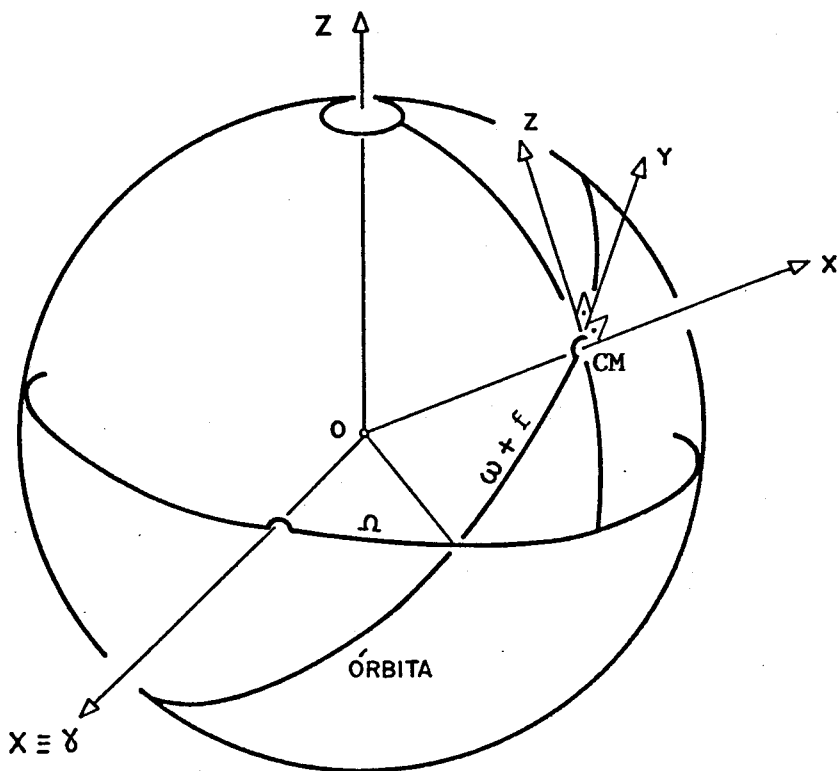


Fig. 5.1 - Sistema satélite adotado para os testes.

As acelerações calculadas ao longo de uma órbita kepliana foram traçadas para o intervalo de um período anomalístico. A Figura 5.2 (a, b e c) mostra as componentes x, y e z das acelerações no sistema satélite, levando-se em conta todos os coeficientes harmônicos e o termo principal, ou seja:

$$\ddot{r} = \ddot{r}(2 \text{ corpos}) + \ddot{r}(J) + \ddot{r}(C, S) .$$

Todas as outras figuras a seguir são traçadas sem o termo principal (2 corpos), para impedir que seu efeito mascare os efeitos perturbadores dos coeficientes harmônicos.

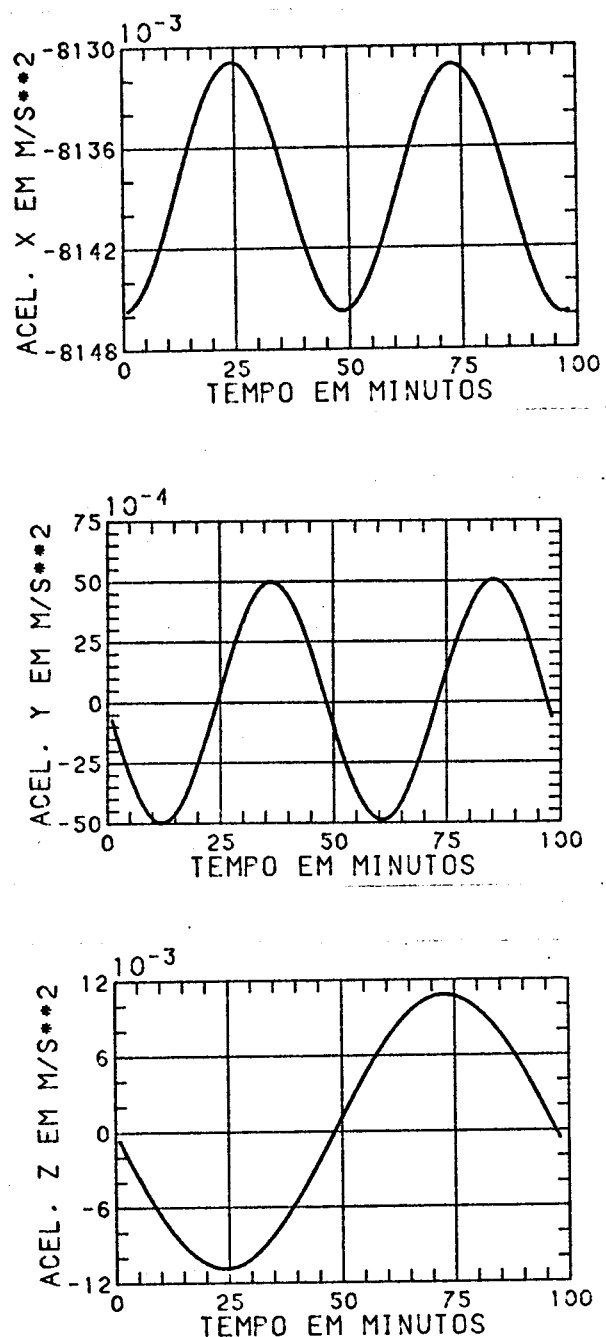


Fig. 5.2 - Aceleração inercial total: (a) aceleração no eixo x; (b) aceleração no eixo Y; (c) aceleração no eixo z.

A Figura 5.3 (a, b e c) mostra as acelerações perturbadoras (sem o termo principal), isto é:

$$\ddot{r} = \ddot{r}(J) + \ddot{r}(C, S)$$

A Figura 5.4 (a, b e c) mostra as acelerações devidas sómente ao coeficiente zonal J_2 :

$$\ddot{r} = \ddot{r}(J_2)$$

Os efeitos do coeficiente zonal J_2 são retirados das figuras subsequentes, pois é o maior efeito perturbador, com ordem de grandeza 1000 vezes maior que os outros coeficientes.

A Figura 5.5 (a, b e c) mostra as acelerações devidas aos coeficientes zonais, menos o coeficiente zonal J_2 :

$$\ddot{r} = \ddot{r}(J) - \ddot{r}(J_2)$$

A Figura 5.6 (a, b e c) mostra as acelerações devidas aos coeficientes zonais e tesserais, menos o coeficiente zonal J_2 :

$$\ddot{r} = \ddot{r}(J) - \ddot{r}(J_2) + \ddot{r}(C, S)$$

A Figura 5.7 (a, b e c) mostra as acelerações devidas aos coeficientes tesserais:

$$\ddot{r} = \ddot{r}(C, S)$$

Todas estas figuras elucidam com razoável clareza as influências dos coeficientes, o que foi possível com a modelagem adotada no presente trabalho.

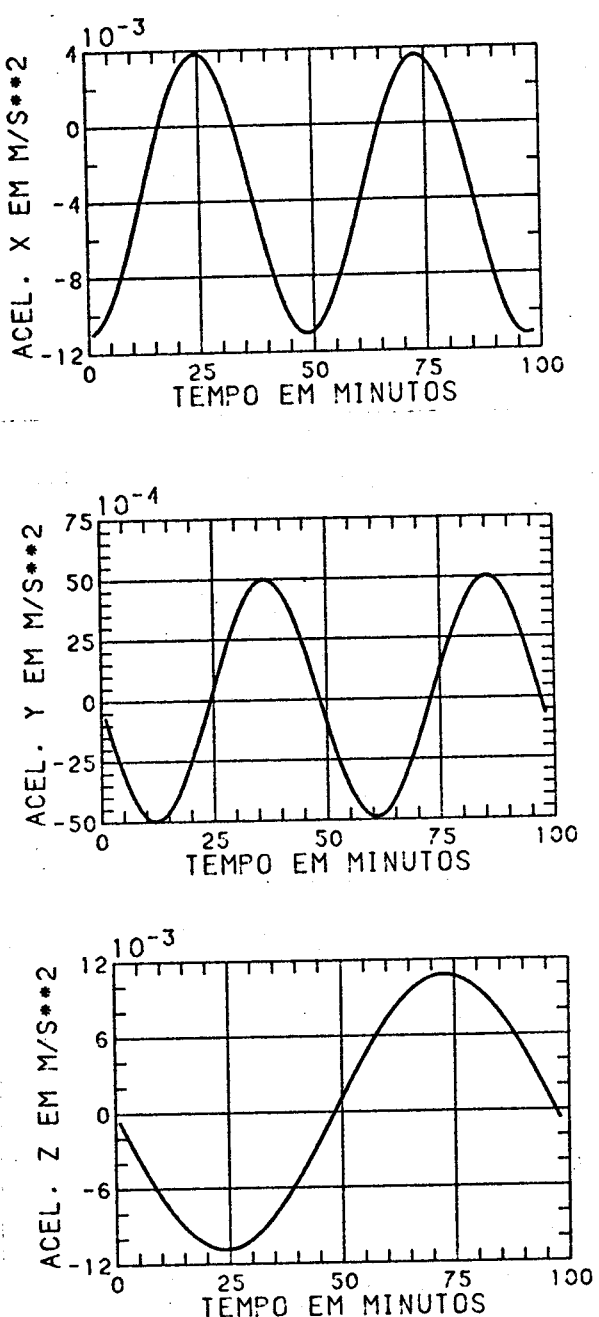


Fig. 5.3 - Aceleração inercial menos a aceleração kepleriana:
(a) aceleração no eixo x; (b) aceleração no eixo y;
(c) aceleração no eixo z.

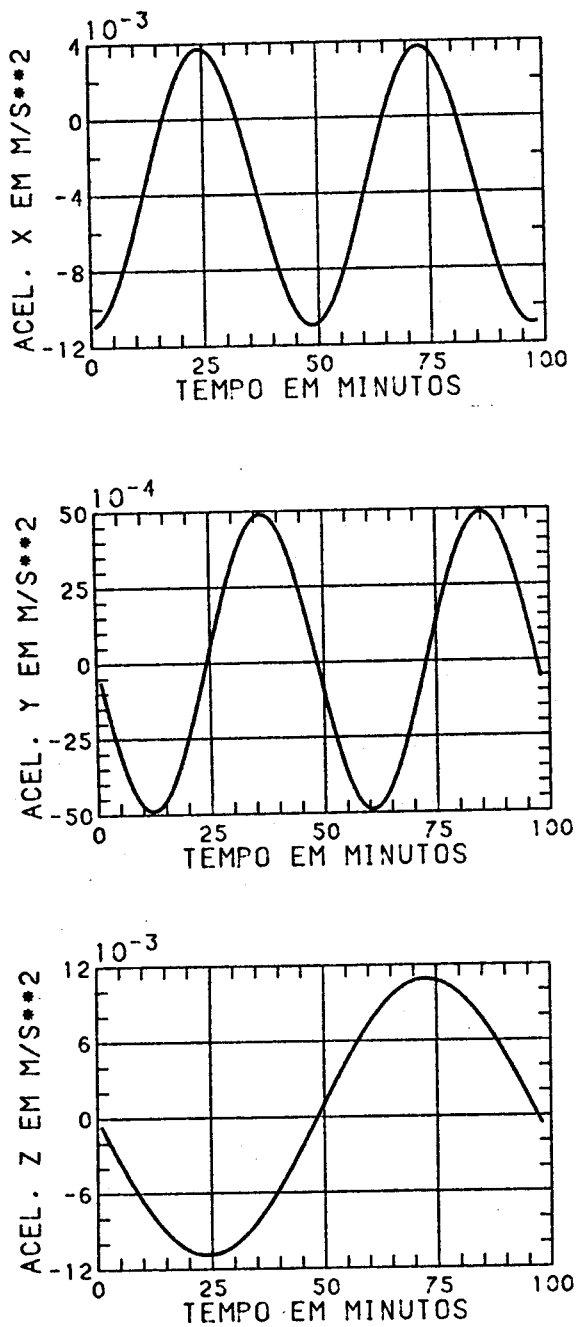


Fig. 5.4 - Aceleração devida ao coeficiente J_2 : (a) aceleração no eixo x; (b) aceleração no eixo y; (c) aceleração no eixo z.

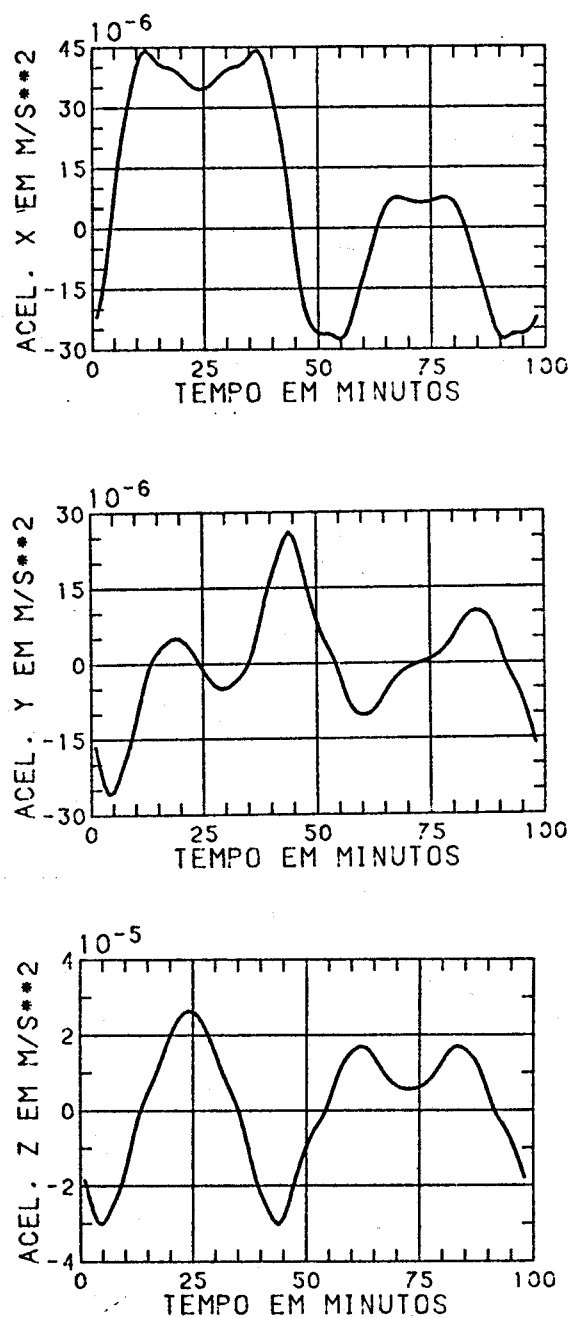


Fig. 5.5 - Aceleração devida aos coeficientes zonais, menos o coe
ficiente J_2 : (a) aceleração no eixo x; (b) aceleração
no eixo y; (c) aceleração no eixo z.

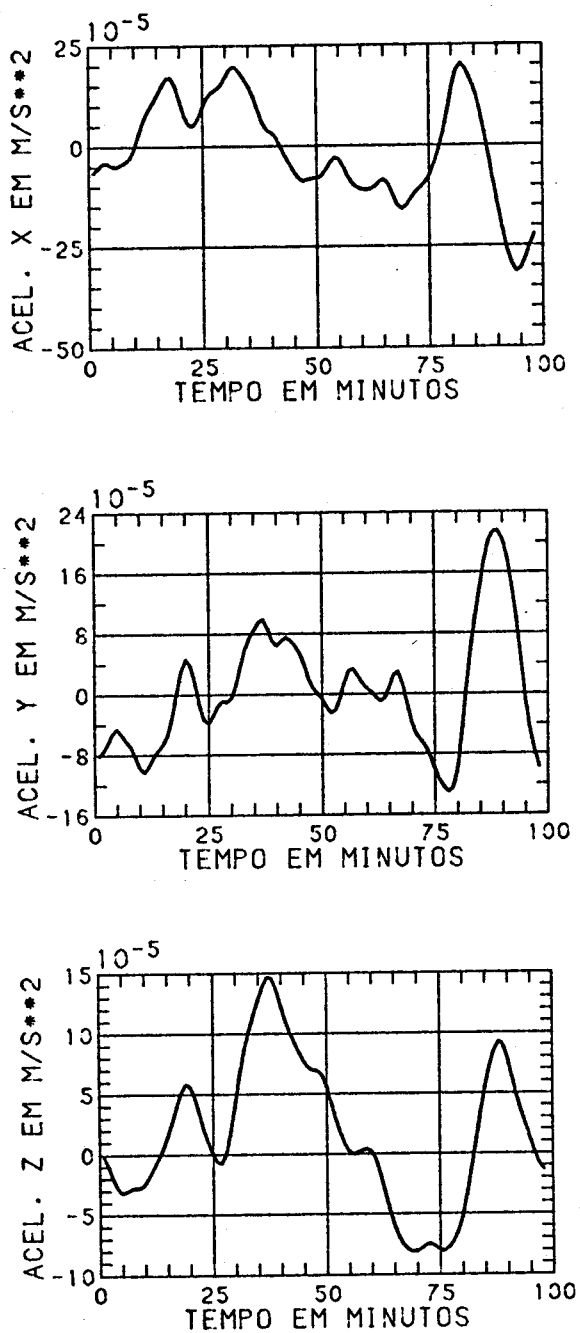


Fig. 5.6 - Aceleração devida aos coeficientes zonais e tesserais, menos o coeficiente J_2 : (a) aceleração no eixo x; (b) aceleração no eixo y; (c) aceleração no eixo z.

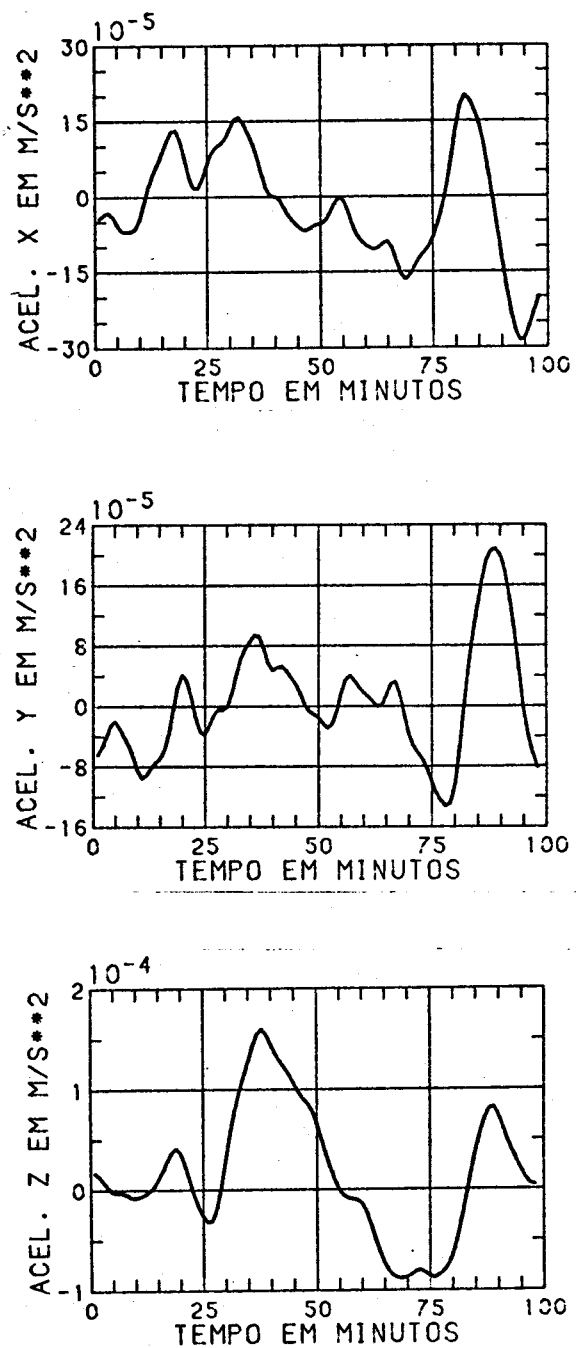


Fig. 5.7 - Aceleração devida aos coeficientes tesserais:
(a) aceleração no eixo x; (b) aceleração no
eixo y; (c) aceleração no eixo z.

5.2 - COMENTÁRIOS

A colocação das rotinas em blocos distintos, de natureza perturbadora (zonal ou tesselar) e ordem e grau da perturbação (até 30 no GEM10), introduz maior flexibilidade na escolha da modelagem adequada à integração numérica. A rotina que contém os coeficientes dos harmônicos esféricos terrestres, GEM10, pode ser substituída por qualquer outro modelo, podendo a modelagem conter coeficientes superiores à ordem 30, que representa o limite do modelo GEM10.

A introdução de rotinas que incluam outras acelerações perturbadoras pode ser feita de maneira modular, não afetando em nada a utilização das rotinas aqui apresentadas.

A utilização da recursividade para cálculo dos polinômios de Legendre e das funções trigonométricas permitem rapidez de processamento com precisão compatível. O cálculo de 60 pontos (em cada eixo x, y, z conforme as Figuras 5.2 a 5.7) ao longo da órbita kepleriana testada (≈ 5400 seg. com passo de 90 seg.) levou aproximadamente 30 seg. de tempo de processamento (não incluiu compilação) no Burroughs 6800.

Com a normalização dos coeficientes dos harmônicos e dos polinômios de Legendre, minimizam-se os erros numéricos que de outra forma adviriam da necessidade do cálculo de fatoriais de alta ordem. Para cálculos que exijam maior precisão, recomenda-se implementar as rotinas do Apêndice A em dupla precisão, principalmente as rotinas ACEZON e ACETES.

REFERÉNCIAS BIBLIOGRÁFICAS

- ESCOBAL, P.R. *Methods of Orbit Determination.* New York, NY, John Wiley, 1965.
- FLIEGEL, H.F.; FLANDERN, T.C. van. A Machine Algorithm for Processing Calendar Dates. *Communications of the ACM*, 11(10):657, Oct. 1968.
- HEISKANEN, W.; MORITZ, H. *Physical Geodesy.* San Francisco, CA, Freeman, 1967.
- KAULA, W.M. *Theory of Satellite Geodesy.* Waltham, MA, Blaisdell, 1966.
- KUGA, H.K.; CARRARA, V.; MEDEIROS, V.M. *Rotinas Auxiliares de Mecânica Celeste e Geração de Órbita.* São José dos Campos, SP, INPE, jul. 1981. (INPE-2180-RPE/392).
- LERCH, F.J.; KLOSKO, S.M.; LAUBSCHER, R.E.; WAGNER, C.A. Gravity Model Improvement Using Geos 3 (GEM9 and 10). *Journal of Geophysical Research*, 84(B8):3897-3916, July, 1979.
- NASA. *National Geodetic Satellite Program.* Washington, 1977. Part 1. (NASA SP-365).
- SPIER, G.W. *Design and Implementation of Models for the Double Precision Trajectory Program (DPTRAJ).* Pasadena, CA, JPL, 1971. (Technical memorandum 33.451).



APÉNDICE A

SUBROTINA ACETOT

SUBROUTINE ACETUT(N,TSG,XI,AC)

ESTA ROTINA GERENCIA AS CHAMADAS DAS ROTINAS
"ACEZUN" E "ACETES" E PROVE MUDANÇAS DE SISTEMAS DE COORDENADAS INERCIAL-TERRESTRE-LU-
CAL E VICE-VERSA.

ENTRADAS

***** N.....ORDEM E GRAU DOS COEFICIENTES DOS HARMONICOS ESFERICOS,
NO MAXIMO 30 .
TSG....TEMPO SIDERAL DE GREENWICH EM RADIANOS
XI.....VETOR POSICAO DO SATELITE NO SISTEMA INERCIAL EM METROS, DIMENSAO 3

SATDAS

***** ACVETOR DAS ACELERACOES DO SATELITE NO SISTEMA INERCIAL,EM M/S**2,DIMENSAO 3

HELIOD/VALDER/VALDEMIR ** INPE -DMC/DDO 10-82

DIMENSION XI(3),AC(3),ACZ(3),ACT(3)
DATA GM /3.9860047 E+14/
COMMON/CTEG10/SL,CL,SF,CF,RG
COMMON/G10INI/INI

CT = COS(TSG)
ST = SIN(TSG)
X = XI(1)
Y = XI(2)
Z = XI(3)
XG = CT*X + ST*Y
YG = -ST*X + CT*Y
ZG = Z
XYQ = XG*XG + YG*YG
RGQ = XYQ + ZG*ZG
RG = SQRT(RGQ)
SF = ZG/RG
CF = SQRT(XYQ/RGQ)
XYQ = SQRT(XYQ)
SL = YG/XYQ
CL = XG/XYQ
ACDC = GM/RGQ

IF(INI.EQ.0) CALL GEM10

CALL ACEZUN(N,ACZ)

C

CALL ACETES(N,ACT)

C

AC1 = ACDC*(-1. + (ACZ(1)+ACT(1))*1.E-06)

AC2 = ACDC*(ACZ(2) + ACT(2))*1.E-06

AC3 = ACDC*(ACZ(3) + ACT(3))*1.E-06

C

CCSS = CT*CL - ST*SL

CSSC = CT*SL + ST*CL

C

AC(1) = CCSS*CF*AC1 - CSSC*AC2 - CCSS*SF*AC3

AC(2) = CSSC*CF*AC1 + CCSS*AC2 - CSSC*SF*AC3

AC(3) = SF * AC1 + CF * AC3

C

RETURN

END



APÉNDICE B

SUBROTINA ACEZON

SUBROUTINE ACEZON(N1,ACZ)

C ESTA ROTINA CALCULA AS ACELERACOES DEVIDAS
C AOS COEFICIENTES ZONais NO SISTEMA LOCAL
C EM 10**6 M/S**2

C ENTRADA

C ***** N1...ORDEM DO COEFICIENTE ZONAL, MAXIMO 30

C VIA COMMON :

C /ZONAIS/ CO(30) ..COEFICIENTES ZONAIS
C COM SINAL CONTRARIO,
C I.E., CO = - J , E
C MULTIPLICADUS POR 10**6

C /CTEG10/ SL,CL,SF,CF,RG ...ESPECIFICADAS NO RELATORIO

C SAIDA

C ***** ACZ...ACELERACAO DEVIDA AOS ZONAIS
C EM 10**6 M/S**2, VETOR DE DIMENSAO 3

C HELIO/VALDER/VALDEMIr INPE-DMC/DDO 10-82

C

DIMENSION ACZ(3)

COMMON/ZONAIS/CO(30)

DATA RT /6378139./

COMMON/CTEG10/SL,CL,SF,CF,RG

C

APSR = RT/RG

SLAT = SF

CLAT = CF

C

APAC = APSR

PNM2 = 1.

PNM1 = SLAT

PLNM1 = 1.

C

DO 10 I=2,N1

DEN = I

PN = ((2*I-1)*SLAT*PNM1 - (I-1)*PNM2)/DEN

PLN = SLAT*PLNM1 + I*PNM1

DEN = SQRT(2*DEN + 1.)

APAC = APAC * APSR

CJ = -CO(I)*APAC

AX = AX + CJ*(I+1)*PN*DEN

AZ = AZ - CJ*CL1T*PLN*DEN

PNM2 = PNM1

PNM1 = PN

PLNM1 = PLN

10 CONTINUE

C

ACZ(1) = AX

ACZ(2) = 0.

ACZ(3) = AZ

C

RETURN

END



APENDICE C

SUBROTINA ACETES

SUBROUTINE ACETES(N2,AC)

ESTA ROTINA CALCULA AS ACELERACOES DEVIDAS
AOS COEFICIENTES DOS HARMONICOS TESSERAIS
EM 10^{**6} M/S **2

ENTRADA

***** N2...ORDEM E GRAU DOS COEFICIENTES
TESSERAIS, MAXIMO 30

VIA COMMON

/CTESSE/CCOEFICIENTES C(30,30) * 10^{**6}

/STESSE/SCOEFICIENTES S(30,30) * 10^{**6}

/CTEG10/ SL,CL,SF,CF,RG ...ESPECIFICADOS NO
RELATORIO

SAIDA

**** AC... ACELERACAO TESSERAL EM
 10^{**6} M/S **2 , VETOR DIMENSAO 3

HELIOS/VALDER/VALENTIM INPE-DMC/DDO 10-82

DIMENSION AC(3)

DIMENSION C(30,30),S(30,30)

DATA RT / 6378139 ./

COMMON/CTESSE/C

COMMON/STESSE/S

COMMON/CTEG10/SL,CL,SF,CF,RG

COFI = CF

SIFI = SF

COLA = CL

SILA = SL

APER = RT/RG

CDML = 1.

SIML = 0.

SPNN = SQRT(3.)

DO 200 M = 1,N2

APEN = APER**M

COMA = CDML

COML = COML*COLA + SIML*SILA

SIML = SIML*COLA + COMA*SILA

PLMN = -M*SIFI*SPNN

CCSS = C(M,M)*COML + S(M,M)*SIML

RLPX = RLPX - (M+1)*SPNN*CCSS*COFI*APEN

RLPY = RLPY + M*SPNN*(-C(M,M)*SIML + S(M,M)*COML)*APEN

RLPZ = RLPZ + PLMN*CCSS*APEN
PMN1 = SPNN
PMN2 = 0.
SPNN = SQRT((2.*M+3.)/(2.*M+2.))*COFI*SPNN
N = M + 1

C

100 CONTINUE
IF(N.GT.42) GOTO 150
E2 = 2.*N
E2M1 = E2 + 1
E2D1 = E2 - 1.
E2M2 = N*N - M*M
SQN1 = SQRT(E2M1)
SQN2 = SQRT(E2D1)
SQN3 = SQRT(E2M2)
FAT2 = SQN1/SQN3
FAT3 = SQRT((E2M2-E2D1)/(E2D1-2.))
FAT4 = SQN1*SQN3/SQN2
APEN = APER**N
SPMN = FAT2*(SQN2*SIFI*PMN1 - FAT3*PMN2)
PLMN = -V*SIFI*SPMN + FAT4*PMN1
CCSS = C(N,M)*CDML + S(N,M)*SIML
RLPX = RLPX - (N+1)*SPMN*COFI*CCSS*APEN
RLPY = RLPY + M*SPMN*(-C(N,M)*SIML + S(N,M)*CDML)*APEN
RLPZ = RLPZ + PLMN*CCSS*APEN
PMN2 = PMN1
PMN1 = SPMN
N = N + 1
GOTO 100

C

150 CONTINUE

200 CONTINUE

C

AC(1) = RLPX
AC(2) = RLPY
AC(3) = RLPZ

C

RETURN

END



APÉNDICE D

SUBROTINA GEM 10

SUBROUTINE GEM10

C ESTA RUTINA CONTEM OS COEFICIENTES DOS HARMONICOS ESFERICOS SEGUNDO O MODELO GEM 10
C SAIDAS VIA COMMON
C *****
C /G10INI/INI...PARAMETRO DE INICIALIZACAO
C /ZONAIS/C0(30)...COEFICIENTES ZONAIS COM SINAL
C CONTRARIO E MULTIPLICADOS POR
C 10**6
C /STESSE/S(30,30)...COEFICIENTES "C" MULTIPLICADOS POR 10**6
C /CTESSE/C(30,30)...COEFICIENTES "C" MULTIPLICADOS POR 10**6
C HELIO/VALDER/VALEDEMIR INPE-DMC/DDO 10-82
C
COMMON/G10INI/INI
COMMON/ZONAIS/C0(30)
COMMON/STESSE/S(30,30)
COMMON/CTESSE/C(30,30)
INI = 1
C0(2) = -484.16544
C0(3) = 0.95838
C0(4) = 0.54112
C0(5) = 0.06862
C0(6) = -0.15070
C0(7) = 0.09312
C0(8) = 0.05021
C0(9) = 0.02754
C0(10) = 0.05261
C0(11) = -0.04857
C0(12) = 0.03862
C0(13) = 0.04400
C0(14) = -0.02299
C0(15) = 0.00143
C0(16) = -0.00728
C0(17) = 0.01675
C0(18) = 0.01001
C0(19) = 0.00020
C0(20) = 0.02370
C0(21) = 0.00010
C0(22) = -0.00249
C0(23) = -0.01909
C0(24) = -0.00553
C0(25) = 0.00044
C0(26) = 0.00562

C(27) =	0.01087
C(28) =	-0.02127
C(29) =	-0.00963
C(30) =	0.
C(2,1) =	0.00104
S(2,1) =	-0.00243
C(3,1) =	2.02055
S(3,1) =	0.25197
C(4,1) =	-0.53521
S(4,1) =	-0.46926
C(5,1) =	-0.05117
S(5,1) =	-0.09379
C(6,1) =	-0.07293
S(6,1) =	0.02316
C(7,1) =	0.27044
S(7,1) =	0.10196
C(8,1) =	0.02111
S(8,1) =	0.05504
C(9,1) =	0.15846
S(9,1) =	0.00831
C(10,1) =	0.08885
S(10,1) =	-0.13023
C(11,1) =	0.00554
S(11,1) =	-0.00242
C(12,1) =	-0.06945
S(12,1) =	-0.05344
C(13,1) =	-0.03593
S(13,1) =	0.02592
C(14,1) =	-0.00545
S(14,1) =	0.04033
C(15,1) =	-0.00281
S(15,1) =	0.00274
C(16,1) =	0.01965
S(16,1) =	0.00367
C(17,1) =	-0.01550
S(17,1) =	-0.02197
C(18,1) =	0.00297
S(18,1) =	-0.01471
C(19,1) =	-0.03022
S(19,1) =	-0.00623
C(20,1) =	0.00100
S(20,1) =	-0.01367
C(21,1) =	-0.01609
S(21,1) =	0.01570
C(22,1) =	0.00204
S(22,1) =	0.00134
C(23,1) =	0.00523
S(23,1) =	0.01281
C(24,1) =	-0.00656
S(24,1) =	0.00033
C(25,1) =	0.00499
S(25,1) =	-0.00213

C(26,1)=	0.
S(26,1)=	0.
C(27,1)=	0.
S(27,1)=	0.
C(28,1)=	0.
S(28,1)=	0.
C(29,1)=	0.
S(29,1)=	0.
C(30,1)=	0.
S(30,1)=	0.
C(2,2) =	2.43404
S(2,2) =	-1.39907
C(3,2) =	0.89272
S(3,2) =	-0.62346
C(4,2) =	0.35208
S(4,2) =	0.66404
C(5,2) =	0.65146
S(5,2) =	-0.32769
C(6,2) =	0.04935
S(6,2) =	-0.35387
C(7,2) =	0.32437
S(7,2) =	0.10813
C(8,2) =	0.07082
S(8,2) =	0.05462
C(9,2) =	0.02731
S(9,2) =	-0.03571
C(10,2)=	-0.08538
S(10,2)=	-0.01315
C(11,2)=	0.03107
S(11,2)=	-0.09117
C(12,2)=	0.00181
S(12,2)=	-0.00415
C(13,2)=	0.02761
S(13,2)=	-0.05666
C(14,2)=	-0.03616
S(14,2)=	0.03335
C(15,2)=	0.00332
S(15,2)=	-0.02052
C(16,2)=	-0.00941
S(16,2)=	0.02558
C(17,2)=	-0.01788
S(17,2)=	0.01258
C(18,2)=	0.00498
S(18,2)=	0.01623
C(19,2)=	0.01621
S(19,2)=	-0.00123
C(20,2)=	-0.00541
S(20,2)=	0.01019
C(21,2)=	0.00989
S(21,2)=	-0.00067
C(22,2)=	-0.00183
S(22,2)=	-0.00943

C(23,2)=	0.
S(23,2)=	0.
C(24,2)=	0.
S(24,2)=	0.
C(25,2)=	0.
S(25,2)=	0.
C(26,2)=	0.
S(26,2)=	0.
C(27,2)=	0.
S(27,2)=	0.
C(28,2)=	0.
S(28,2)=	0.
C(29,2)=	0.
S(29,2)=	0.
C(30,2)=	0.
S(30,2)=	0.
C(3,3) =	0.70028
S(3,3) =	1.41250
C(4,3) =	0.98850
S(4,3) =	-0.20179
C(5,3) =	-0.46712
S(5,3) =	-0.20298
C(6,3) =	0.05697
S(6,3) =	0.00332
C(7,3) =	0.23109
S(7,3) =	-0.21615
C(8,3) =	-0.01136
S(8,3) =	-0.08558
C(9,3) =	-0.16196
S(9,3) =	-0.09053
C(10,3)=	-0.01879
S(10,3)=	-0.16064
C(11,3)=	-0.05093
S(11,3)=	-0.12921
C(12,3)=	0.05913
S(12,3)=	0.02586
C(13,3)=	-0.02174
S(13,3)=	0.07047
C(14,3)=	0.03262
S(14,3)=	-0.00677
C(15,3)=	0.02250
S(15,3)=	0.02413
C(16,3)=	-0.01106
S(16,3)=	-0.01984
C(17,3)=	-0.00791
S(17,3)=	0.00178
C(18,3)=	-0.00136
S(18,3)=	-0.00400
C(19,3)=	0.00172
S(19,3)=	-0.00958
C(20,3)=	-0.00934
S(20,3)=	0.01568

C(21,3)=	0.00901
S(21,3)=	0.00527
C(22,3)=	-0.00504
S(22,3)=	0.00789
C(23,3)=	0.
S(23,3)=	0.
C(24,3)=	0.
S(24,3)=	0.
C(25,3)=	0.
S(25,3)=	0.
C(26,3)=	0.
S(26,3)=	0.
C(27,3)=	0.
S(27,3)=	0.
C(28,3)=	0.
S(28,3)=	0.
C(29,3)=	0.
S(29,3)=	0.
C(30,3)=	0.
S(30,3)=	0.
C(4,4) =	-0.19531
S(4,4) =	0.29883
C(5,4) =	-0.28754
S(5,4) =	0.04990
C(6,4) =	-0.10089
S(6,4) =	-0.46157
C(7,4) =	-0.28455
S(7,4) =	-0.12984
C(8,4) =	-0.24419
S(8,4) =	0.07507
C(9,4) =	-0.00977
S(9,4) =	0.01357
C(10,4)=	-0.09717
S(10,4)=	-0.07666
C(11,4)=	-0.04829
S(11,4)=	-0.07397
C(12,4)=	-0.08039
S(12,4)=	-0.02156
C(13,4)=	-0.01603
S(13,4)=	-0.00226
C(14,4)=	-0.00637
S(14,4)=	-0.00028
C(15,4)=	-0.04109
S(15,4)=	-0.00341
C(16,4)=	0.03198
S(16,4)=	0.03151
C(17,4)=	-0.00708
S(17,4)=	0.01038
C(18,4)=	0.03212
S(18,4)=	0.00546
C(19,4)=	0.00323
S(19,4)=	-0.01652

C(20,4)=	-0.00491
S(20,4)=	-0.01402
C(21,4)=	0.00253
S(21,4)=	0.00928
C(22,4)=	0.00025
S(22,4)=	0.01193
C(23,4)=	0.
S(23,4)=	0.
C(24,4)=	0.
S(24,4)=	0.
C(25,4)=	0.
S(25,4)=	0.
C(26,4)=	0.
S(26,4)=	0.
C(27,4)=	0.
S(27,4)=	0.
C(28,4)=	0.
S(28,4)=	0.
C(29,4)=	0.
S(29,4)=	0.
C(30,4)=	0.
S(30,4)=	0.
C(5,5) =	0.15617
S(5,5) =	-0.65983
C(6,5) =	-0.25833
S(6,5) =	-0.53730
C(7,5) =	0.01498
S(7,5) =	0.04312
C(8,5) =	-0.01608
S(8,5) =	0.08245
C(9,5) =	-0.00723
S(9,5) =	-0.05617
C(10,5)=	-0.06518
S(10,5)=	-0.03159
C(11,5)=	0.04723
S(11,5)=	0.07119
C(12,5)=	0.04429
S(12,5)=	0.00653
C(13,5)=	0.05961
S(13,5)=	0.05044
C(14,5)=	0.01997
S(14,5)=	-0.01693
C(15,5)=	0.00061
S(15,5)=	0.00058
C(16,5)=	-0.01064
S(16,5)=	-0.00135
C(17,5)=	-0.02296
S(17,5)=	0.00653
C(18,5)=	0.01421
S(18,5)=	0.01153
C(19,5)=	-0.00868
S(19,5)=	-0.00204

C(20,5)=	-0.00029
S(20,5)=	0.00158
C(21,5)=	0.00312
S(21,5)=	-0.00679
C(22,5)=	0.00581
S(22,5)=	0.00660
C(23,5)=	0.
S(23,5)=	0.
C(24,5)=	0.
S(24,5)=	0.
C(25,5)=	0.
S(25,5)=	0.
C(26,5)=	0.
S(26,5)=	0.
C(27,5)=	0.
S(27,5)=	0.
C(28,5)=	0.
S(28,5)=	0.
C(29,5)=	0.
S(29,5)=	0.
C(30,5)=	0.
S(30,5)=	0.
C(6,6) =	0.00271
S(6,6) =	-0.24213
C(7,6) =	-0.36170
S(7,6) =	0.13055
C(8,6) =	-0.07484
S(8,6) =	0.31977
C(9,6) =	0.03974
S(9,6) =	0.21681
C(10,6) =	-0.03877
S(10,6) =	-0.08487
C(11,6) =	-0.00350
S(11,6) =	0.03074
C(12,6) =	-0.00211
S(12,6) =	0.02615
C(13,6) =	-0.03671
S(13,6) =	0.00301
C(14,6) =	-0.00949
S(14,6) =	-0.00179
C(15,6) =	0.02390
S(15,6) =	-0.04516
C(16,6) =	-0.00035
S(16,6) =	-0.02898
C(17,6) =	-0.01310
S(17,6) =	-0.01936
C(18,6) =	0.00935
S(18,6) =	-0.01118
C(19,6) =	0.00876
S(19,6) =	0.01212
C(20,6) =	0.00697
S(20,6) =	0.00340

C(21,6)=	0.00047
S(21,6)=	0.00113
C(22,6)=	0.00318
S(22,6)=	-0.00024
C(23,6)=	0.
S(23,6)=	0.
C(24,6)=	0.
S(24,6)=	0.
C(25,6)=	0.
S(25,6)=	0.
C(26,6)=	0.
S(26,6)=	0.
C(27,6)=	0.
S(27,6)=	0.
C(28,6)=	0.
S(28,6)=	0.
C(29,6)=	0.
S(29,6)=	0.
C(30,6)=	0.
S(30,6)=	0.
C(7,7) =	-0.00717
S(7,7) =	0.01688
C(8,7) =	0.06632
S(8,7) =	0.07700
C(9,7) =	-0.10317
S(9,7) =	-0.07477
C(10,7)=	0.00388
S(10,7)=	0.01801
C(11,7)=	0.01382
S(11,7)=	-0.08498
C(12,7)=	-0.01897
S(12,7)=	0.04645
C(13,7)=	-0.00118
S(13,7)=	-0.00334
C(14,7)=	0.02282
S(14,7)=	-0.02217
C(15,7)=	0.06538
S(15,7)=	0.01653
C(16,7)=	-0.00237
S(16,7)=	-0.00768
C(17,7)=	0.01600
S(17,7)=	-0.00201
C(18,7)=	0.00254
S(18,7)=	-0.00389
C(19,7)=	0.00258
S(19,7)=	0.00405
C(20,7)=	-0.01390
S(20,7)=	-0.00599
C(21,7)=	-0.01030
S(21,7)=	0.00763
C(22,7)=	-0.00271
S(22,7)=	0.00169

C(23,7)=	0.
S(23,7)=	0.
C(24,7)=	0.
S(24,7)=	0.
C(25,7)=	0.
S(25,7)=	0.
C(26,7)=	0.
S(26,7)=	0.
C(27,7)=	0.
S(27,7)=	0.
C(28,7)=	0.
S(28,7)=	0.
C(29,7)=	0.
S(29,7)=	0.
C(30,7)=	0.
S(30,7)=	0.
C(8,8)=	-0.12262
S(8,8)=	0.12887
C(9,8)=	0.19939
S(9,8)=	-0.01222
C(10,8)=	0.04349
S(10,8)=	-0.06948
C(11,8)=	-0.01085
S(11,8)=	0.02482
C(12,8)=	-0.02617
S(12,8)=	0.02585
C(13,8)=	-0.01830
S(13,8)=	-0.00381
C(14,8)=	-0.04525
S(14,8)=	-0.00434
C(15,8)=	-0.01598
S(15,8)=	0.02921
C(16,8)=	-0.01900
S(16,8)=	0.00834
C(17,8)=	0.01833
S(17,8)=	-0.00385
C(18,8)=	0.01756
S(18,8)=	-0.01142
C(19,8)=	0.01824
S(19,8)=	-0.01045
C(20,8)=	-0.00195
S(20,8)=	0.00990
C(21,8)=	0.00006
S(21,8)=	0.00021
C(22,8)=	-0.00781
S(22,8)=	0.00262
C(23,8)=	0.
S(23,8)=	0.
C(24,8)=	0.
S(24,8)=	0.
C(25,8)=	0.
S(25,8)=	0.

C(26,8)=	0.
S(26,8)=	0.
C(27,8)=	0.
S(27,8)=	0.
C(28,8)=	0.
S(28,8)=	0.
C(29,8)=	0.
S(29,8)=	0.
C(30,8)=	0.
S(30,8)=	0.
C(9,9) =	-0.05541
S(9,9) =	0.09097
C(10,9)=	0.12372
S(10,9)=	-0.04851
C(11,9)=	-0.03343
S(11,9)=	0.03788
C(12,9)=	0.03710
S(12,9)=	0.01169
C(13,9)=	0.02050
S(13,9)=	0.04507
C(14,9)=	0.03246
S(14,9)=	0.00995
C(15,9)=	0.01081
S(15,9)=	0.03356
C(16,9)=	-0.01781
S(16,9)=	-0.04536
C(17,9)=	-0.01019
S(17,9)=	-0.02609
C(18,9)=	-0.01934
S(18,9)=	0.02044
C(19,9)=	0.00906
S(19,9)=	0.00639
C(20,9)=	0.01785
S(20,9)=	0.01354
C(21,9)=	0.00450
S(21,9)=	0.00453
C(22,9)=	0.00850
S(22,9)=	0.00662
C(23,9)=	0.
S(23,9)=	0.
C(24,9)=	0.
S(24,9)=	0.
C(25,9)=	0.
S(25,9)=	0.
C(26,9)=	0.
S(26,9)=	0.
C(27,9)=	0.
S(27,9)=	0.
C(28,9)=	0.
S(28,9)=	0.
C(29,9)=	0.
S(29,9)=	0.

C(30,9)= 0.
S(30,9)= 0.
C(10,10)= 0.10112
S(10,10)= -0.02228
C(11,10)= -0.06487
S(11,10)= -0.00122
C(12,10)= -0.00466
S(12,10)= 0.05053
C(13,10)= 0.03104
S(13,10)= -0.03120
C(14,10)= 0.04095
S(14,10)= 0.01273
C(15,10)= 0.01858
S(15,10)= 0.00285
C(16,10)= 0.00904
S(16,10)= -0.00214
C(17,10)= 0.00982
S(17,10)= 0.01107
C(18,10)= 0.00142
S(18,10)= -0.00712
C(19,10)= -0.01995
S(19,10)= -0.00809
C(20,10)= -0.01252
S(20,10)= -0.00787
C(21,10)= -0.00168
S(21,10)= -0.00024
C(22,10)= 0.00017
S(22,10)= 0.00707
C(23,10)= 0.
S(23,10)= 0.
C(24,10)= 0.
S(24,10)= 0.
C(25,10)= 0.
S(25,10)= 0.
C(26,10)= 0.
S(26,10)= 0.
C(27,10)= 0.
S(27,10)= 0.
C(28,10)= 0.
S(28,10)= 0.
C(29,10)= 0.
S(29,10)= 0.
C(30,10)= 0.
S(30,10)= 0.
C(11,11)= 0.04886
S(11,11)= -0.07019
C(12,11)= 0.01619
S(12,11)= -0.00381
C(13,11)= -0.03917
S(13,11)= -0.01086
C(14,11)= 0.02094
S(14,11)= -0.03716

C(15,11)= 0.00008
S(15,11)= 0.00068
C(16,11)= 0.02278
S(16,11)= 0.00634
C(17,11)= -0.02975
S(17,11)= -0.00543
C(18,11)= -0.00004
S(18,11)= 0.01638
C(19,11)= 0.00203
S(19,11)= 0.02191
C(20,11)= 0.01921
S(20,11)= -0.01048
C(21,11)= -0.00221
S(21,11)= -0.01288
C(22,11)= -0.00244
S(22,11)= -0.02165
C(23,11)= 0.
S(23,11)= 0.
C(24,11)= 0.
S(24,11)= 0.
C(25,11)= 0.
S(25,11)= 0.
C(26,11)= 0.
S(26,11)= 0.
C(27,11)= 0.
S(27,11)= 0.
C(28,11)= 0.
S(28,11)= 0.
C(29,11)= 0.
S(29,11)= 0.
C(30,11)= 0.
S(30,11)= 0.
C(12,12)= -0.00554
S(12,12)= -0.01268
C(13,12)= -0.03220
S(13,12)= 0.09102
C(14,12)= 0.00975
S(14,12)= -0.03103
C(15,12)= -0.03355
S(15,12)= 0.01650
C(16,12)= 0.01839
S(16,12)= 0.00875
C(17,12)= 0.03036
S(17,12)= 0.01899
C(18,12)= -0.03557
S(18,12)= -0.02274
C(19,12)= -0.01017
S(19,12)= 0.00343
C(20,12)= -0.00592
S(20,12)= 0.02306
C(21,12)= 0.00111
S(21,12)= 0.01673

C(22,12) = -0.01396
S(22,12) = -0.01715
C(23,12) = 0.01572
S(23,12) = 0.00483
C(24,12) = 0.00934
S(24,12) = -0.01530
C(25,12) = -0.00738
S(25,12) = 0.00359
C(26,12) = 0.
S(26,12) = 0.
C(27,12) = 0.
S(27,12) = 0.
C(28,12) = 0.
S(28,12) = 0.
C(29,12) = 0.
S(29,12) = 0.
C(30,12) = 0.
S(30,12) = 0.
C(13,13) = -0.05954
S(13,13) = 0.06972
C(14,13) = 0.02809
S(14,13) = 0.04223
C(15,13) = -0.02225
S(15,13) = -0.00224
C(16,13) = 0.01213
S(16,13) = -0.00625
C(17,13) = 0.01525
S(17,13) = -0.01986
C(18,13) = -0.01153
S(18,13) = -0.03674
C(19,13) = -0.01165
S(19,13) = -0.02961
C(20,13) = 0.02321
S(20,13) = 0.00395
C(21,13) = -0.01557
S(21,13) = 0.01460
C(22,13) = -0.02989
S(22,13) = 0.00838
C(23,13) = -0.00118
S(23,13) = -0.00074
C(24,13) = 0.00553
S(24,13) = -0.00469
C(25,13) = 0.01504
S(25,13) = -0.00764
C(26,13) = -0.00235
S(26,13) = -0.00538
C(27,13) = -0.00821
S(27,13) = -0.00785
C(28,13) = 0.02063
S(28,13) = 0.01063
C(29,13) = -0.01165
S(29,13) = -0.00576

C(30,13)= 0.
S(30,13)= 0.
C(14,14)= -0.05122
S(14,14)= -0.00543
C(15,14)= 0.00391
S(15,14)= -0.02457
C(16,14)= -0.01881
S(16,14)= -0.03793
C(17,14)= -0.01586
S(17,14)= 0.01086
C(18,14)= -0.00797
S(18,14)= -0.01007
C(19,14)= -0.00581
S(19,14)= -0.01257
C(20,14)= 0.01308
S(20,14)= -0.01055
C(21,14)= 0.01969
S(21,14)= 0.01034
C(22,14)= 0.00971
S(22,14)= 0.00623
C(23,14)= 0.00839
S(23,14)= -0.00532
C(24,14)= -0.01797
S(24,14)= 0.00413
C(25,14)= -0.02345
S(25,14)= 0.01681
C(26,14)= 0.00739
S(26,14)= 0.00105
C(27,14)= 0.02294
S(27,14)= 0.00612
C(28,14)= -0.00724
S(28,14)= -0.01113
C(29,14)= -0.01098
S(29,14)= 0.01017
C(30,14)= 0.
S(30,14)= 0.
C(15,15)= -0.02075
S(15,15)= -0.00447
C(16,15)= -0.01278
S(16,15)= -0.02604
C(17,15)= 0.00235
S(17,15)= 0.00520
C(18,15)= -0.05475
S(18,15)= -0.01538
C(19,15)= -0.02100
S(19,15)= -0.01490
C(20,15)= -0.02512
S(20,15)= 0.00549
C(21,15)= 0.00999
S(21,15)= 0.01154
C(22,15)= 0.02121
S(22,15)= -0.00125

C(23,15)= 0.01389
S(23,15)= 0.00392
C(24,15)= 0.00191
S(24,15)= -0.00401
C(25,15)= -0.00780
S(25,15)= -0.00435
C(26,15)= 0.
S(26,15)= 0.
C(27,15)= 0.
S(27,15)= 0.
C(28,15)= 0.
S(28,15)= 0.
C(29,15)= 0.
S(29,15)= 0.
C(30,15)= 0.
S(30,15)= 0.
C(16,16)= -0.02579
S(16,16)= 0.00774
C(17,16)= -0.02359
S(17,16)= 0.01142
C(18,16)= 0.01002
S(18,16)= 0.01677
C(19,16)= -0.03212
S(19,16)= -0.01255
C(20,16)= -0.01244
S(20,16)= -0.00331
C(21,16)= 0.00311
S(21,16)= -0.00678
C(22,16)= -0.00152
S(22,16)= -0.00491
C(23,16)= 0.
S(23,16)= 0.
C(24,16)= 0.
S(24,16)= 0.
C(25,16)= 0.
S(25,16)= 0.
C(26,16)= 0.
S(26,16)= 0.
C(27,16)= 0.
S(27,16)= 0.
C(28,16)= 0.
S(28,16)= 0.
C(29,16)= 0.
S(29,16)= 0.
C(30,16)= 0.
S(30,16)= 0.
C(17,17)= -0.02227
S(17,17)= -0.00279
C(18,17)= 0.01587
S(18,17)= -0.00260
C(19,17)= 0.02725
S(19,17)= -0.00939

C(20,17) = -0.00669
S(20,17) = -0.00943
C(21,17) = -0.00380
S(21,17) = -0.00399
C(22,17) = 0.00342
S(22,17) = -0.01193
C(23,17) = 0.
S(23,17) = 0.
C(24,17) = 0.
S(24,17) = 0.
C(25,17) = 0.
S(25,17) = 0.
C(26,17) = 0.
S(26,17) = 0.
C(27,17) = 0.
S(27,17) = 0.
C(28,17) = 0.
S(28,17) = 0.
C(29,17) = 0.
S(29,17) = 0.
C(30,17) = 0.
S(30,17) = 0.
C(18,18) = -0.01066
S(18,18) = -0.01451
C(19,18) = 0.03935
S(19,18) = -0.01591
C(20,18) = -0.00527
S(20,18) = 0.01647
C(21,18) = 0.02197
S(21,18) = -0.00589
C(22,18) = 0.01463
S(22,18) = -0.01305
C(23,18) = 0.
S(23,18) = 0.
C(24,18) = 0.
S(24,18) = 0.
C(25,18) = 0.
S(25,18) = 0.
C(26,18) = 0.
S(26,18) = 0.
C(27,18) = 0.
S(27,18) = 0.
C(28,18) = 0.
S(28,18) = 0.
C(29,18) = 0.
S(29,18) = 0.
C(30,18) = 0.
S(30,18) = 0.
C(19,19) = 0.00282
S(19,19) = 0.00122
C(20,19) = 0.00682
S(20,19) = 0.00621

C(21,19) = -0.00146
S(21,19) = -0.00573
C(22,19) = -0.00439
S(22,19) = -0.00815
C(23,19) = 0.
S(23,19) = 0.
C(24,19) = 0.
S(24,19) = 0.
C(25,19) = 0.
S(25,19) = 0.
C(26,19) = 0.
S(26,19) = 0.
C(27,19) = 0.
S(27,19) = 0.
C(28,19) = 0.
S(28,19) = 0.
C(29,19) = 0.
S(29,19) = 0.
C(30,19) = 0.
S(30,19) = 0.
C(20,20) = 0.00071
S(20,20) = -0.00618
C(21,20) = -0.03716
S(21,20) = -0.00157
C(22,20) = 0.00466
S(22,20) = 0.01305
C(23,20) = 0.
S(23,20) = 0.
C(24,20) = 0.
S(24,20) = 0.
C(25,20) = 0.
S(25,20) = 0.
C(26,20) = 0.
S(26,20) = 0.
C(27,20) = 0.
S(27,20) = 0.
C(28,20) = 0.
S(28,20) = 0.
C(29,20) = 0.
S(29,20) = 0.
C(30,20) = 0.
S(30,20) = 0.
C(21,21) = 0.00375
S(21,21) = -0.01106
C(22,21) = -0.00529
S(22,21) = 0.00013
C(23,21) = 0.
S(23,21) = 0.
C(24,21) = 0.
S(24,21) = 0.
C(25,21) = 0.
S(25,21) = 0.

C(26,21)= 0.
S(26,21)= 0.
C(27,21)= 0.
S(27,21)= 0.
C(28,21)= 0.
S(28,21)= 0.
C(29,21)= 0.
S(29,21)= 0.
C(30,21)= 0.
S(30,21)= 0.
C(22,22)= -0.00133
S(22,22)= 0.00515
C(23,22)= 0.
S(23,22)= 0.
C(24,22)= 0.
S(24,22)= 0.
C(25,22)= 0.
S(25,22)= 0.
C(26,22)= 0.
S(26,22)= 0.
C(27,22)= 0.
S(27,22)= 0.
C(28,22)= 0.
S(28,22)= 0.
C(29,22)= 0.
S(29,22)= 0.
C(30,22)= 0.
S(30,22)= 0.
C(23,23)= 0.
S(23,23)= 0.
C(24,23)= 0.
S(24,23)= 0.
C(25,23)= 0.
S(25,23)= 0.
C(26,23)= 0.
S(26,23)= 0.
C(27,23)= 0.
S(27,23)= 0.
C(28,23)= 0.
S(28,23)= 0.
C(29,23)= 0.
S(29,23)= 0.
C(30,23)= 0.
S(30,23)= 0.
C(24,24)= 0.
S(24,24)= 0.
C(25,24)= 0.
S(25,24)= 0.
C(26,24)= 0.
S(26,24)= 0.
C(27,24)= 0.
S(27,24)= 0.

C(28,24)= 0.
S(28,24)= 0.
C(29,24)= 0.
S(29,24)= 0.
C(30,24)= 0.
S(30,24)= 0.
C(25,25)= 0.
S(25,25)= 0.
C(26,25)= 0.
S(26,25)= 0.
C(27,25)= 0.
S(27,25)= 0.
C(28,25)= 0.
S(28,25)= 0.
C(29,25)= 0.
S(29,25)= 0.
C(30,25)= 0.
S(30,25)= 0.
C(26,26)= 0.
S(26,26)= 0.
C(27,26)= -0.01078
S(27,26)= -0.00566
C(28,26)= 0.00755
S(28,26)= -0.00235
C(29,26)= -0.00981
S(29,26)= -0.01668
C(30,26)= 0.
S(30,26)= 0.
C(27,27)= -0.00111
S(27,27)= -0.00199
C(28,27)= -0.00909
S(28,27)= 0.00262
C(29,27)= 0.
S(29,27)= 0.
C(30,27)= 0.
S(30,27)= 0.
C(28,28)= 0.00499
S(28,28)= 0.00602
C(29,28)= 0.
S(29,28)= 0.
C(30,28)= -0.01810
S(30,28)= -0.03480
C(29,29)= 0.
S(29,29)= 0.
C(30,29)= 0.
S(30,29)= 0.
C(30,30)= 0.
S(30,30)= 0.

C

RETURN

END